

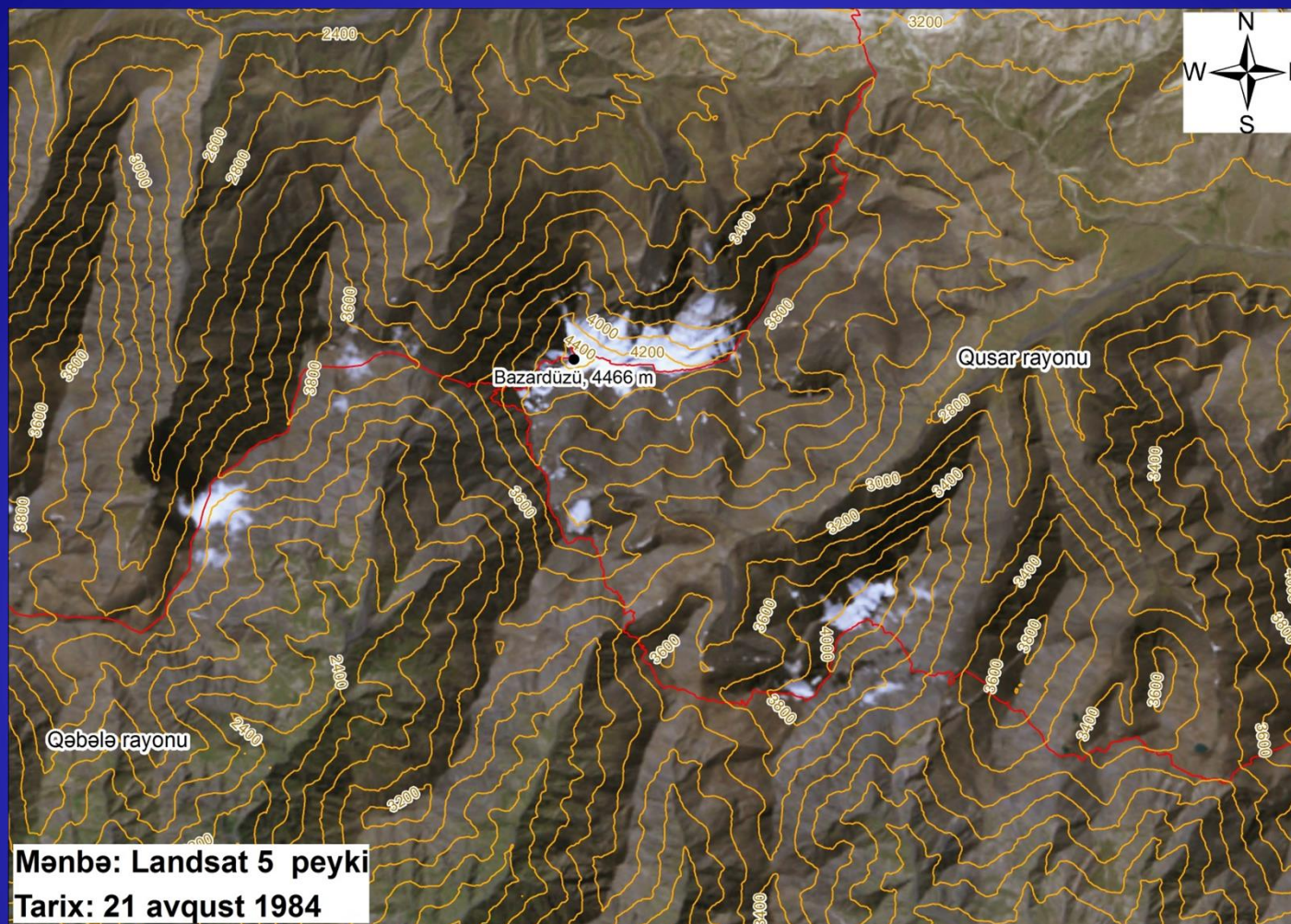
РЕЗУЛЬТАТЫ ПРИМЕНЕНИЯ АЭРОКОСМИЧЕСКИХ СНИМКОВ ПРИ  
ИССЛЕДОВАНИИ ЭКЗОГЕННЫХ РЕЛЬЕФООБРАЗУЮЩИХ ПРОЦЕССОВ  
В АЗЕРБАЙДЖАНСКОЙ ЧАСТИ БОЛЬШОГО КАВКАЗА

*Марданов И.И. (1), Гаджи-заде Ф.М. (2)*

Аэрофотоснимок территории  
вокруг вершины Парсадан,  
позволяющий по фототону  
определить участки различной  
степени эродированности (из  
фонда Института Экологии  
Национального  
Аэрокосмического Агентства  
Азербайджана).



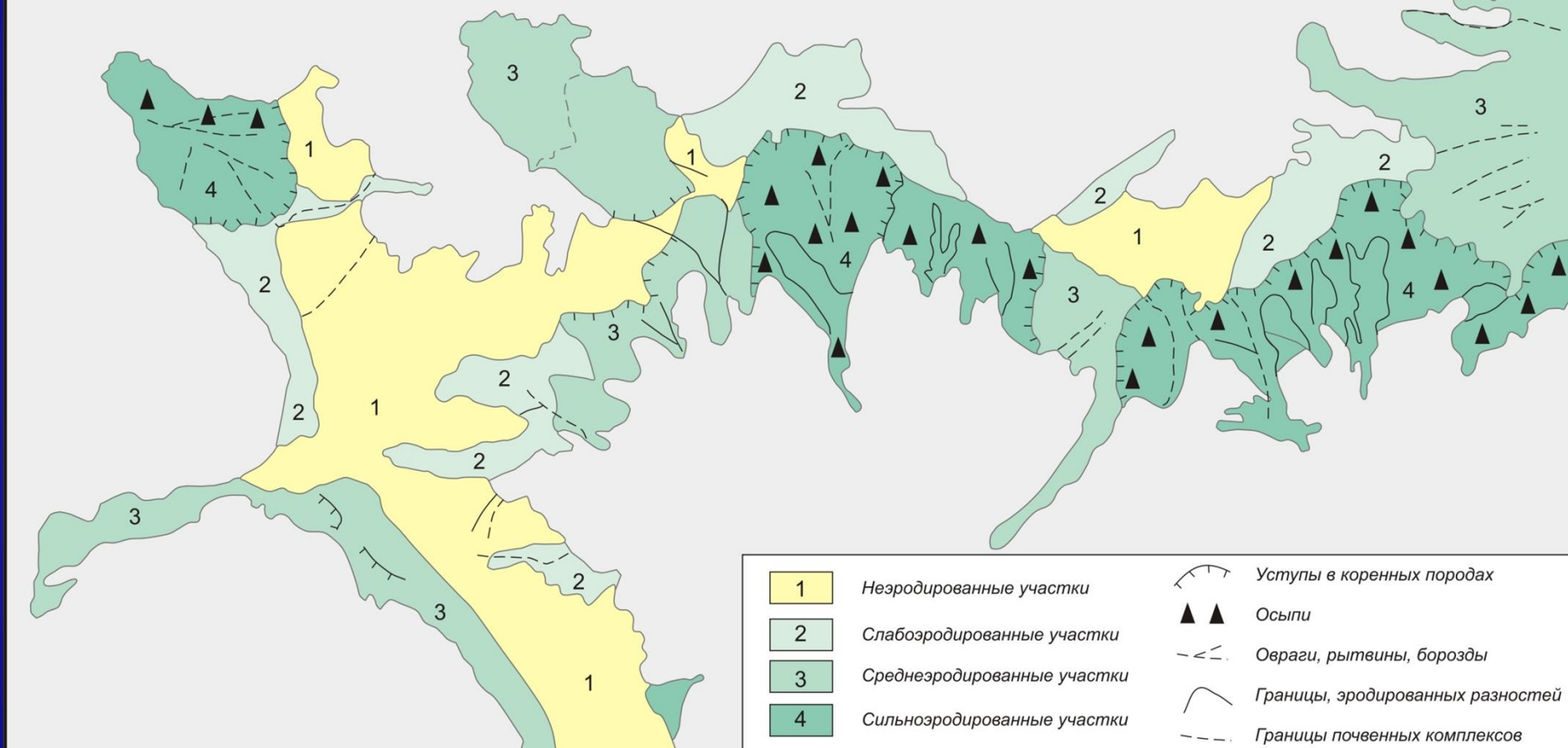




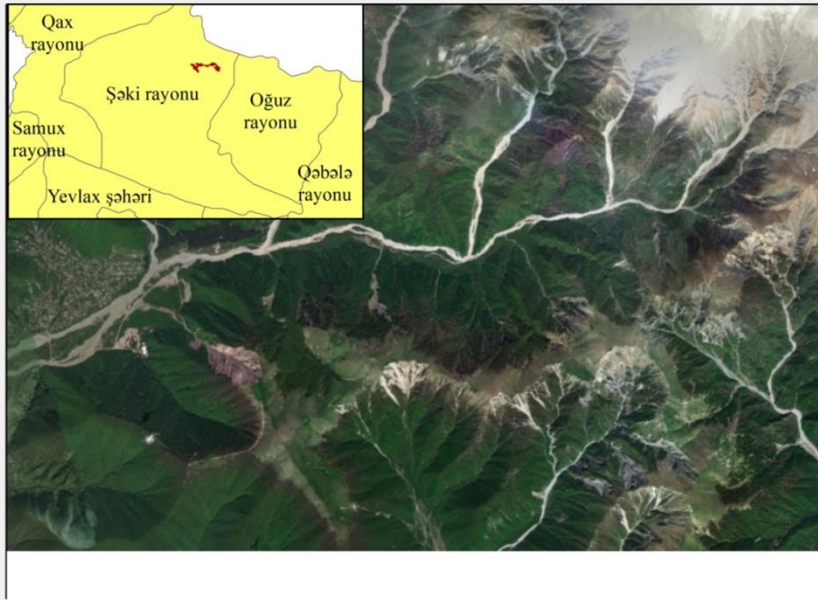
Космический снимок вокруг вершины Базардюзю с выведенными на нем горизонталями

# ПОЧВЕННО-ЭРОЗИОННАЯ КАРТА-СХЕМА КЛЮЧЕВОГО УЧАСТКА

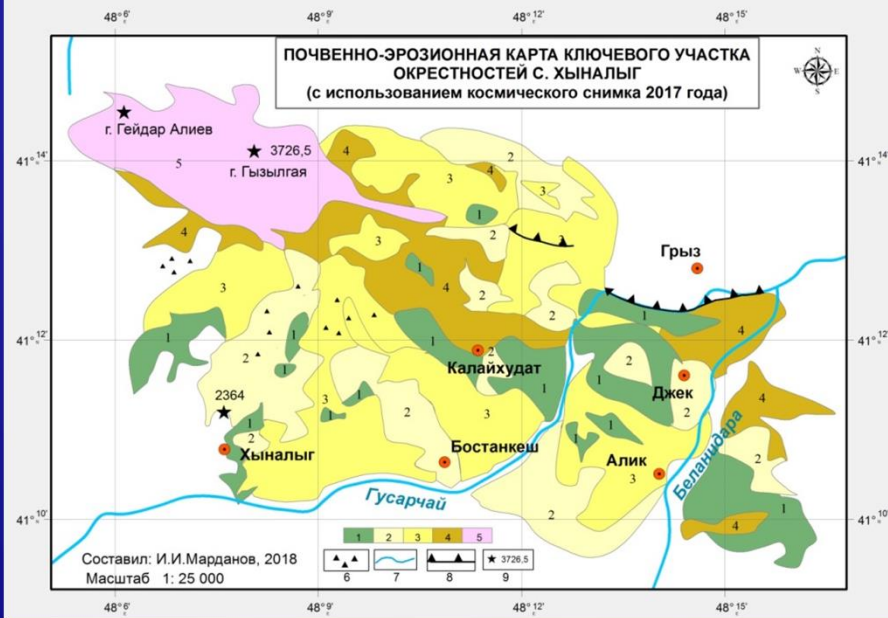
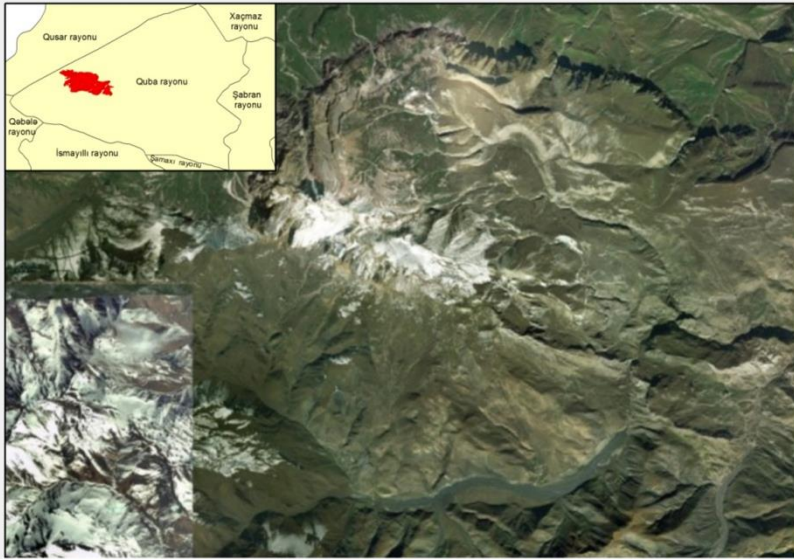
(По материалам аэрофотоснимков 1970 года)







Почвенно-эрозионная карта ключевого участка вокруг вершины Ханяйлаг (2087 м), составленная на основе дешифрирования космического снимка, заснятого со спутника Sentinel-2 Европейского Союза, со степенью разрешения в 10 метров. Условные обозначения: 1-неэродированные участки; 2-слабоэродированные участки; 3-среднеэродированные участки; 4-сильноэродированные участки; 5-реки; 6-отметки высоты. Масштаб 1:25000. Составил: И.И. Марданов, 2018 г.



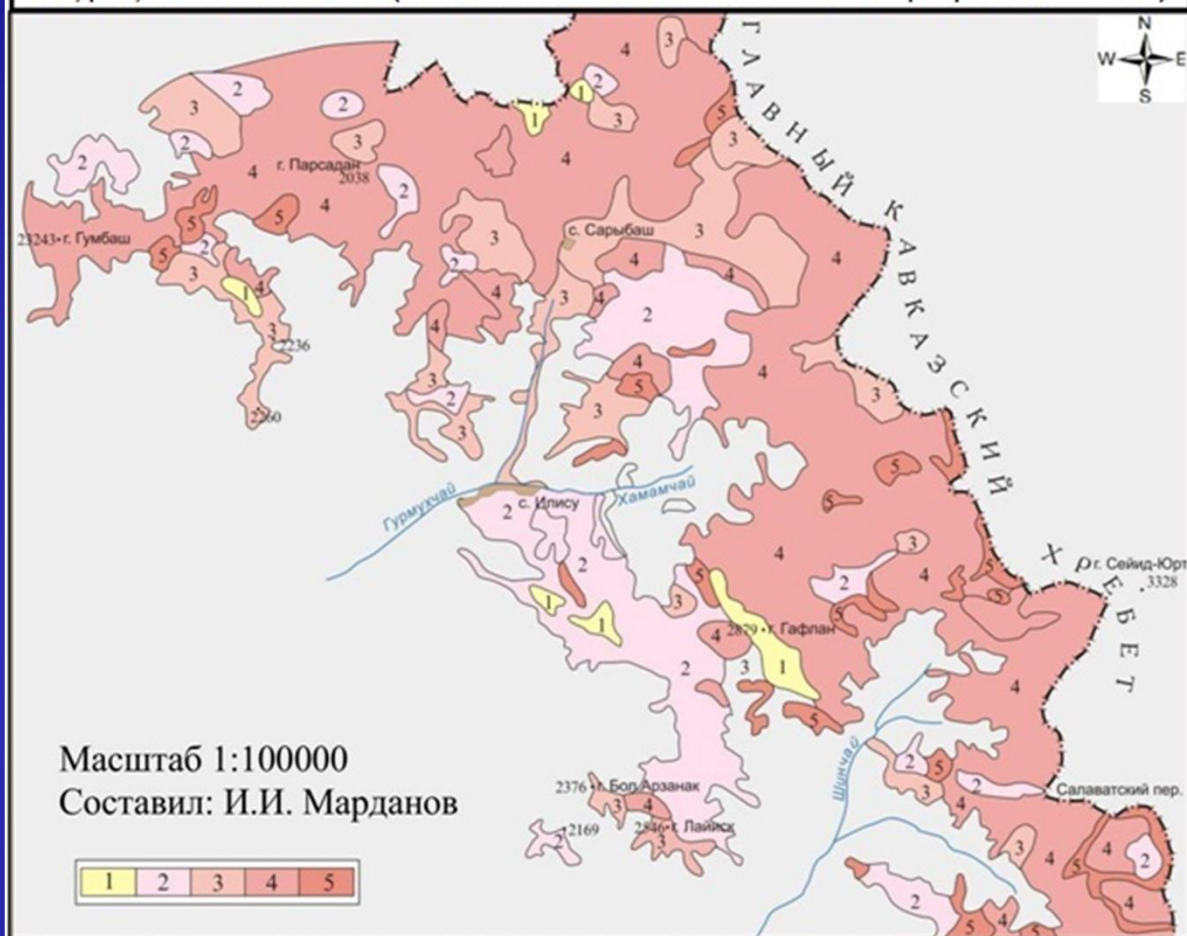
Почвенно-эрозионная карта ключевого участка окрестностей с. Хыналыг, составленная путем дешифрирования космического снимка 2017 года. Условные обозначения: 1-неэродированные участки; 2-слабоэродированные участки; 3-среднеэродированные участки; 4-сильноэродированные участки; 5-скальные обнажения; 6-осыпи, россыпи, 7-реки; 8-уступы в коренных породах; 8-отметки высоты. Масштаб 1:25000. Составил: И.И. Марданов, 2018 г.





Материалы осыпей и россыпей, покрывающие склоны альпийских лугов в долине реки Шахнабад в привершинной части.

Карта-схема эрозионной опасности горно-лугового пояса междуречья Курмухчая и Шинчая (составлена с использованием аэрофотоснимков)

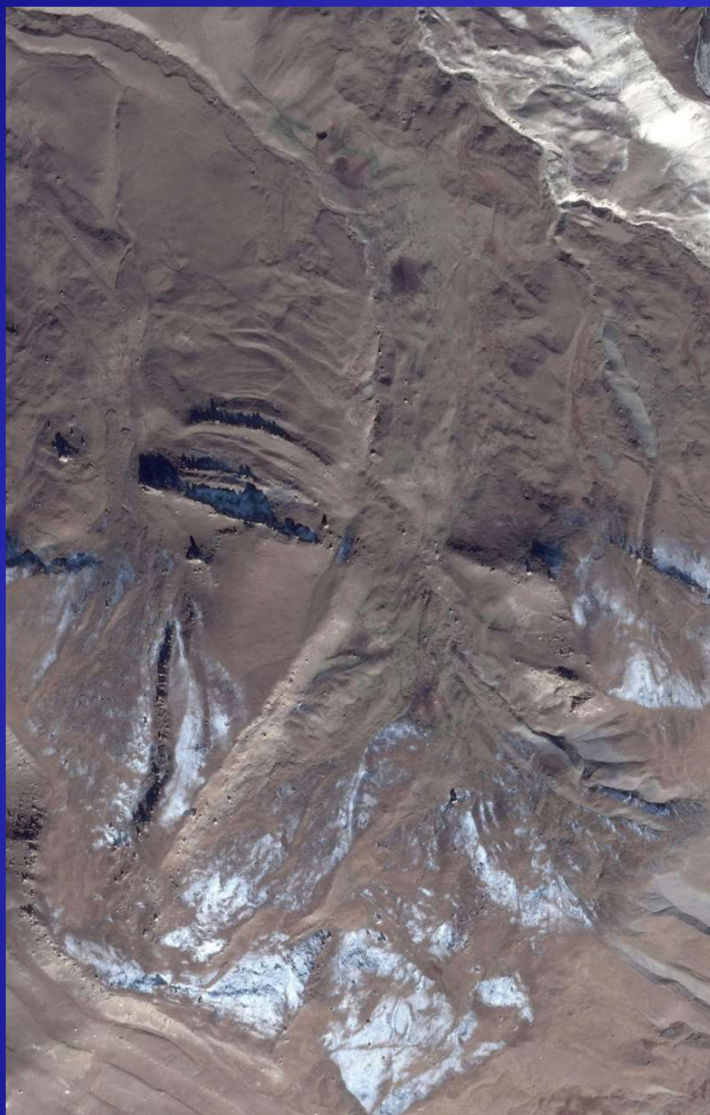


Карта-схема эрозионной опасности горно-лугового пояса междуречья Курмухчая и Шинчая (составлена с использованием аэрофотоснимков). Масштаб 1:100000. 1-относительно безопасные участки; 2-слабоопасные участки; 3-среднеопасные участки; 4-высокоопасные участки; 5-скальные обнажения. Составил: И.И. Марданов.





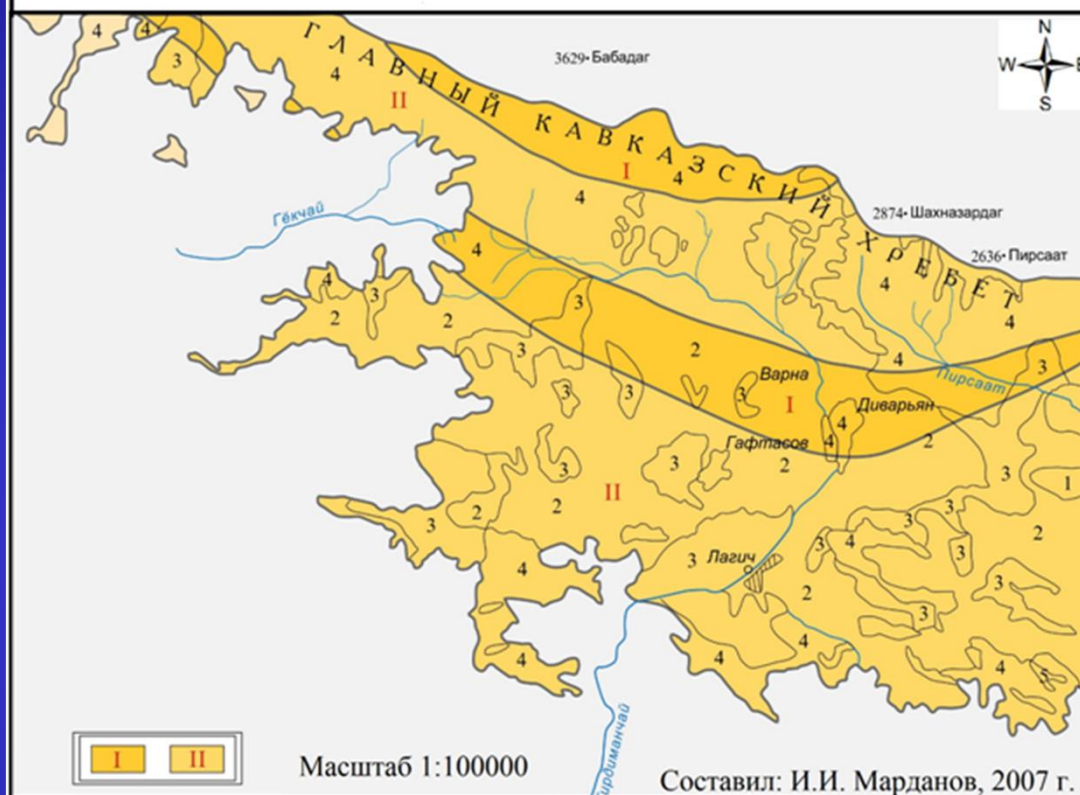
Части исследуемой территории массива Гызылгая с выделенными контурами почв, различной степени эродированности: 1– неэродированные участки; 2– слабоэродированные участки; 3– среднеэродированные участки; 4– сильноэродированные участки; 5– скальные обнажения (Аэрофотоснимок из фонда Института Экологии НАКА).



Оползень-поток Аг-Гядук. Снимок компании “Google” (США), заснятый 29-го сентября 2012-го года, со степенью разрешения в 1 м. Крупные обломки свежих оползневых материалов на конусе выноса отражаются светлым фототонем с зернистой структурой. Светлый фототон характерен и для трещин, формирующихся на поверхности потока. Кустарники же имеет темнозернистую структуру изображения. Выходы на поверхность крупных скальных участков имеют характерную затененность, присущую и аэрофотоснимкам подобных участков на других высокогорных территориях.



Почвенно-эрозионная карта-схема горно-лугового пояса юго-восточного склона Главного Кавказского хребта, составленная с использованием аэрофотоснимков 1980-х г.г.



- Почвенно-эрозионная карта-схема Юго-Восточного склона Главного Кавказского хребта, составленная с использованием аэрофотоснимков 1980-х г.г. Масштаб 1:100000. Составил: И.И. Марданов, 2007 г.
- I – горно-луговые торфянистые и примитивные почвы; II – горно-луговые дерновые почвы; 1 – незеродированные участки; 2 – слабоэродированные участки; 3 – среднеэро-дированные участки; 4 – сильноэродированные участки.

Почвенно-эрозионная карта-схема Северо-Восточного склона Большого Кавказа с использованием аэрофотоснимков 1980-х г.г. Масштаб 1:100000. Составил: И.И. Марданов, 2007.

- I – горно-луговые торфянистые и примитивные почвы;
- II – горно-луговые послелесные почвы;
- III – горно-луговые дерновые почвы.
- 1 – незэродированные участки;
- 2 – слабоэродированные участки;
- 3 – среднеэродированные участки;
- 4 – сильноэродированные участки;
- 5 – скальные обнажения.

